# Limites de validité pour la méthode de paramétrisation de variétés invariantes : critères pratiques pour les systèmes vibrants

André de F. Stabile<sup>(a)</sup>, Aurélien Grolet<sup>(b)</sup>, Alessandra Vizzaccaro<sup>(c)</sup>. Cvril Touzé<sup>(a)</sup>

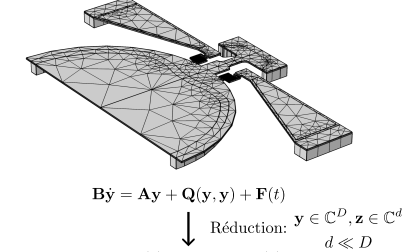
(a) IMSIA - CNRS - EDF - CEA, ENSTA Paris, Institut Polytechnique de Paris (b) LISPEN. Arts et Métiers Sciences et Technologies (c) College of Engineering, Mathematics and Physical Sciences, University of Exeter

> Journées du GdR EX-MODELL Octobre 2025



#### Méthode de paramétrisation de variétés invariantes

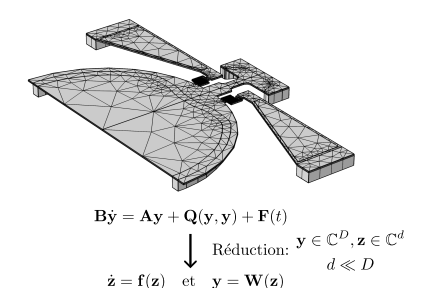
► Technique non linéaire de réduction de modèle.

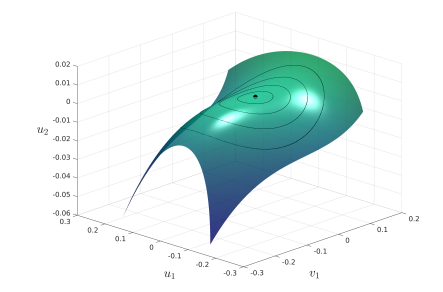


 $\dot{\mathbf{z}} = \mathbf{f}(\mathbf{z})$  et  $\mathbf{v} = \mathbf{W}(\mathbf{z})$ 

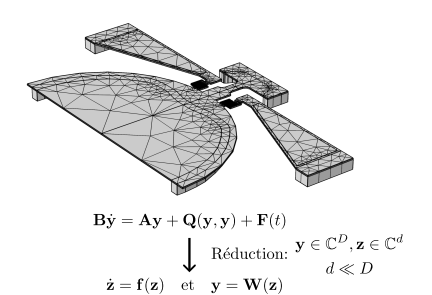
#### Méthode de paramétrisation de variétés invariantes

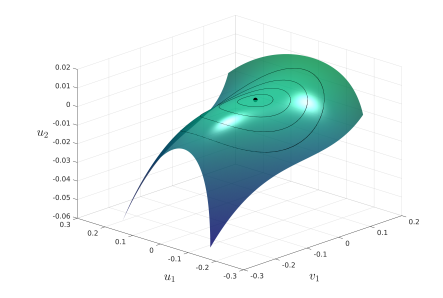
- Technique non linéaire de réduction de modèle.
- Modes non linéaires: variétés invariantes définies mathématiquement comme LSMs/SSMs [shaw and Pierre (1991); Haller and Ponsioen (2016)].





- Technique non linéaire de réduction de modèle.
- Modes non linéaires: variétés invariantes définies mathématiquement comme LSMs/SSMs [shaw and Pierre (1991); Haller and Ponsioen (2016)].





Développements asymptotiques autour d'un point fixe :

 $\mathbf{W}(\mathbf{z}) = \sum \left[ \mathbf{W}(\mathbf{z}) \right]_p, \quad \mathbf{f}(\mathbf{z}) = \sum \left[ \mathbf{f}(\mathbf{z}) \right]_p$ 





Approche typique : comparaison avec un modèle complet.



- ► Approche typique : comparaison avec un modèle complet.
- Nécessité de critères permettant la détermination des limites de validité sans avoir recours au modèle complet.



- Approche typique : comparaison avec un modèle complet.
- Nécessité de critères permettant la détermination des limites de validité sans avoir recours au modèle complet.
- Accent sur critères pratiques, appliqués aux systèmes mécaniques.

#### Méthode de paramétrisation - Panorama

On considère systèmes dynamiques de la forme

$$\mathbf{B}\dot{\mathbf{y}} = \mathbf{A}\mathbf{y} + \mathbf{Q}(\mathbf{y}, \mathbf{y}).$$

#### Méthode de paramétrisation - Panorama

On considère systèmes dynamiques de la forme

$$\mathbf{B}\dot{\mathbf{y}} = \mathbf{A}\mathbf{y} + \mathbf{Q}(\mathbf{y}, \mathbf{y}).$$

Injectant

$$\mathbf{y} = \mathbf{W}(\mathbf{z}),$$
  
 $\dot{\mathbf{z}} = \mathbf{f}(\mathbf{z}),$ 

on retrouve l'équation d'invariance

$$\mathbf{B}\nabla_{\mathbf{z}}\mathbf{W}(\mathbf{z})\mathbf{f}(\mathbf{z}) = \mathbf{A}\mathbf{W}(\mathbf{z}) + \mathbf{Q}(\mathbf{W}(\mathbf{z}), \mathbf{W}(\mathbf{z})),$$

qui permet de déterminer les coefficients des expansions asymptotiques de W et f.



# Limites de validité - Équation d'invariance

On impose que le résidu de l'équation d'invariance soit plus petit qu'une tolérance spécifiée :

$$\frac{\left\|\mathbf{B}\nabla_{\mathbf{z}}\mathbf{W}(\mathbf{z})\mathbf{f}(\mathbf{z}) - \mathbf{A}\mathbf{W}(\mathbf{z}) - \mathbf{Q}(\mathbf{W}(\mathbf{z}),\mathbf{W}(\mathbf{z}))\right\|}{\left\|\mathbf{A}\mathbf{W}^{(1,1)}\right\|} < \varepsilon,$$

# Limites de validité - Équation d'invariance

On impose que le résidu de l'équation d'invariance soit plus petit qu'une tolérance spécifiée :

$$\frac{\left\|\mathbf{B}\nabla_{\mathbf{z}}\mathbf{W}(\mathbf{z})\mathbf{f}(\mathbf{z})-\mathbf{A}\mathbf{W}(\mathbf{z})-\mathbf{Q}(\mathbf{W}(\mathbf{z}),\mathbf{W}(\mathbf{z}))\right\|}{\left\|\mathbf{A}\mathbf{W}^{(1,1)}\right\|}<\varepsilon,$$

Simplification possible pour un seul mode maître : idée basée dans la méthode asymptotique numérique [Cochelin (1994)]. Avec  $z_{1,2}=\frac{\rho}{2}e^{\pm i\theta}$ , il est possible de retrouver

$$\rho = 2 \left( \frac{\left\| \mathbf{A} \mathbf{W}^{(1,1)} \right\|}{\left\| \mathbf{R}^{o+1} \right\|} \varepsilon \right)^{\frac{1}{o+1}}.$$

Critère initialement proposé pour la forme normale [Lamarque et al. (2012)]. On définit l'opérateur d'invariance :

$$\mathbf{H} = \mathbf{B} \nabla_{\mathbf{z}} \mathbf{W}(\mathbf{z})$$

Critère initialement proposé pour la forme normale [Lamarque et al. (2012)]. On définit l'opérateur d'invariance :

$$\mathbf{H} = \mathbf{B} \nabla_{\mathbf{z}} \mathbf{W}(\mathbf{z})$$

$$ightharpoonup$$
 Si  $d = D$ : det  $\mathbf{H} = 0$ .

Critère initialement proposé pour la forme normale [Lamarque et al. (2012)]. On définit l'opérateur d'invariance :

$$\mathbf{H} = \mathbf{B} \nabla_{\mathbf{z}} \mathbf{W}(\mathbf{z})$$

- ightharpoonup Si d = D:  $\det \mathbf{H} = 0$ .
- ▶ Si d < D: Il n'est plus possible de calculer le déterminant de  $\mathbf{H}$ .



Critère initialement proposé pour la forme normale [Lamarque et al. (2012)]. On définit l'opérateur d'invariance :

$$\mathbf{H} = \mathbf{B} \nabla_{\mathbf{z}} \mathbf{W}(\mathbf{z})$$

- ightharpoonup Si d = D:  $\det \mathbf{H} = 0$ .
- ▶ Si d < D: Il n'est plus possible de calculer le déterminant de  $\mathbf{H}$ .
  - Sélectionner une sous-matrice ; ou

Critère initialement proposé pour la forme normale [Lamarque et al. (2012)]. On définit l'opérateur d'invariance :

$$\mathbf{H} = \mathbf{B} \nabla_{\mathbf{z}} \mathbf{W}(\mathbf{z})$$

- ightharpoonup Si d = D:  $\det \mathbf{H} = 0$ .
- ▶ Si d < D: Il n'est plus possible de calculer le déterminant de  $\mathbf{H}$ .
  - Sélectionner une sous-matrice; ou
  - Calculer la décomposition en valeurs singuliers.

Critère initialement proposé pour la forme normale [Lamarque et al. (2012)]. On définit l'opérateur d'invariance :

$$\mathbf{H} = \mathbf{B} \nabla_{\mathbf{z}} \mathbf{W}(\mathbf{z})$$

On cherche ses singularités :

- ightharpoonup Si d = D:  $\det \mathbf{H} = 0$ .
- ▶ Si d < D: Il n'est plus possible de calculer le déterminant de  $\mathbf{H}$ .
  - Sélectionner une sous-matrice; ou
  - Calculer la décomposition en valeurs singuliers.

Pour les cas forcés : il suffit de considérer la sous-matrice associée à la partie autonome.



#### Limites de validité - Séries

Critère adapté au cas d'un seul mode maître. Avec une forme polaire des variables normales :

$$\mathbf{f}(\mathbf{z}) = \sum_{p=1}^{o} \mathbf{f}_p(\theta) \, \rho^p,$$

$$\mathbf{W}(\mathbf{z}) = \sum_{p=1}^{o} \mathbf{W}_p(\theta) \, \rho^p.$$

#### Limites de validité - Séries

Critère adapté au cas d'un seul mode maître. Avec une forme polaire des variables normales :

$$\mathbf{f}(\mathbf{z}) = \sum_{p=1}^{o} \mathbf{f}_p(\theta) \, \rho^p,$$

$$\mathbf{W}(\mathbf{z}) = \sum_{p=1}^{o} \mathbf{W}_{p}(\theta) \, \rho^{p}.$$

Application de règles de convergence de séries à une des composantes scalaires :

$$\rho_C = \lim_{p \to \infty} a_p^{-1/d},$$

$$\rho_A = \lim_{p \to \infty} \frac{a_p}{a_{p+1}}.$$

Traitement de la dépendance en  $\theta$  (et  $\phi$  pour le cas forcé) : minimum pour différentes valeurs.

#### Exemple

On considère l'oscillateur à deux DDLs décrit par :

$$\ddot{u}_1 + 2\xi_1\omega_1\dot{u}_1 + \omega_1^2u_1 + h_{111}^1u_1^3 + 3h_{111}^2u_1^2u_2 = \kappa\cos\Omega t,$$
  
$$\ddot{u}_2 + 2\xi_2\omega_2\dot{u}_2 + \omega_2^2u_2 + h_{111}^2u_1^3 = 0,$$

et on s'intéresse d'abord au cas conservatif et sans forcage.



#### Exemple

On considère l'oscillateur à deux DDLs décrit par :

$$\ddot{u}_1 + 2\xi_1\omega_1\dot{u}_1 + \omega_1^2u_1 + h_{111}^1u_1^3 + 3h_{111}^2u_1^2u_2 = \kappa\cos\Omega t,$$
  
$$\ddot{u}_2 + 2\xi_2\omega_2\dot{u}_2 + \omega_2^2u_2 + h_{111}^2u_1^3 = 0,$$

et on s'intéresse d'abord au cas conservatif et sans forcage. On fixe

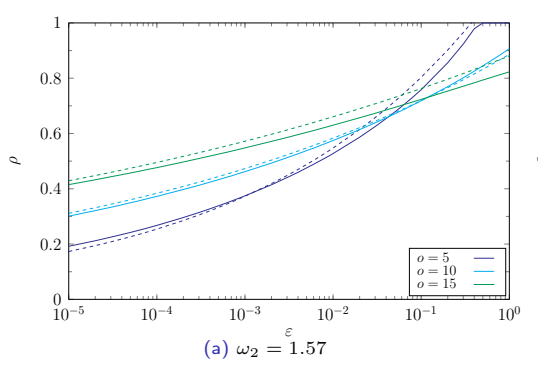
$$h_{111}^1 = h_{111}^2 = \omega_1 = 1,$$

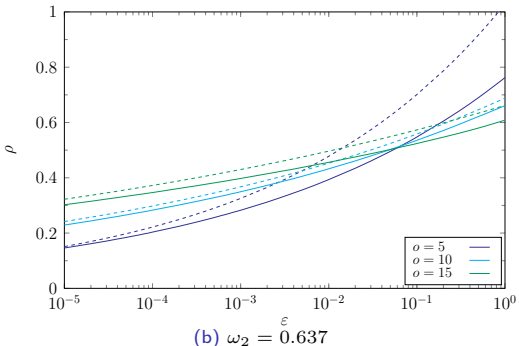
et deux valeurs de  $\omega_2$ :

$$\omega_2 = 1.57$$
 et  $\omega_2 = 0.637$ .

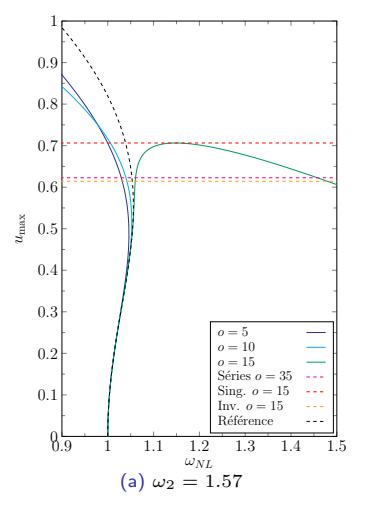


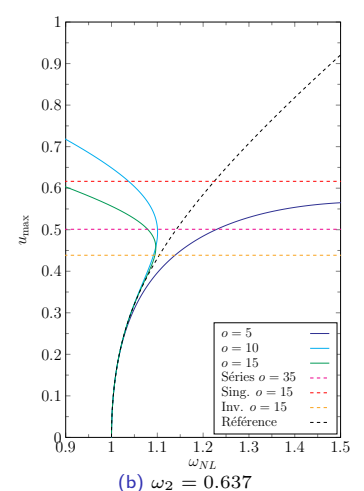
# Exemple - Équation d'invariance





# Exemple - Backbones





# Systèmes forcés

▶ Tous les critères présentés sont appliqués après le calcul du modèle réduit, pour le valider.



## Systèmes forcés

- Tous les critères présentés sont appliqués après le calcul du modèle réduit, pour le valider.
- Détermination de  $\kappa$  a priori : expressions analytiques pour des cas de résonance spécifiques.



#### Oscillateur de Duffing - Cas conservatif

Oscillateur de Duffing :

$$\ddot{u} + 2\xi_1 \omega_1 u + \omega_1 u + h u^3 = \kappa \cos \Omega t.$$

Développements symboliques



#### Oscillateur de Duffing :

$$\ddot{u} + 2\xi_1\omega_1 u + \omega_1 u + hu^3 = \kappa\cos\Omega t.$$

Développements symboliques

Pour le cas **conservatif et en vibration libre**, jusqu'à l'ordre 9 :

$$\dot{z}_1 = i\omega_1 z_1 + i\frac{3h}{2\omega_1} z_1^2 z_2 - i\frac{51h^2}{2^4\omega_1^3} z_1^3 z_2^2 + i\frac{1419h^3}{2^7\omega_1^5} z_1^4 z_2^3 - i\frac{47505h^4}{2^{10}\omega_1^7} z_1^5 z_2^4$$

$$u = z_1 + z_2 + \frac{h}{8\omega_1^2} z_1^3 - \frac{3h}{4\omega_1^2} z_1^2 z_2 - \frac{3h}{4\omega_1^2} z_1 z_2^2 + \frac{h}{8\omega_1^2} z_2^3 + \frac{h^2}{64\omega_1^4} z_1^5 + \dots$$

#### Oscillateur de Duffing - Cas conservatif

Oscillateur de Duffing :

$$\ddot{u} + 2\xi_1\omega_1u + \omega_1u + hu^3 = \kappa\cos\Omega t.$$

Pour le cas conservatif et en vibration libre, jusqu'à l'ordre 9 :

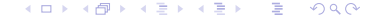
$$\dot{z}_1 = i\omega_1 z_1 + i\frac{3h}{2\omega_1} z_1^2 z_2 - i\frac{51h^2}{2^4\omega_1^3} z_1^3 z_2^2 + i\frac{1419h^3}{2^7\omega_1^5} z_1^4 z_2^3 - i\frac{47505h^4}{2^{10}\omega_1^7} z_1^5 z_2^4$$

$$u = z_1 + z_2 + \frac{h}{8\omega_1^2} z_1^3 - \frac{3h}{4\omega_1^2} z_1^2 z_2 - \frac{3h}{4\omega_1^2} z_1 z_2^2 + \frac{h}{8\omega_1^2} z_2^3 + \frac{h^2}{64\omega_1^4} z_1^5 + \dots$$

La backbone et l'amplitude du déplacement sont obtenus analytiquement :

$$\omega_{NL} = \omega_1 \left( 1 + \frac{3h}{2^3 \omega_1^2} \rho^2 - \frac{51h^2}{2^8 \omega_1^4} \rho^4 + \frac{1419h^3}{2^{13} \omega_1^6} \rho^6 - \frac{47505h^4}{2^{18} \omega_1^8} \rho^8 \right),$$

$$u_{\text{max}} = \rho \left( 1 - \frac{5h}{2^5 \omega_1^2} \rho^2 + \frac{25h^2}{2^8 \omega_1^4} \rho^4 - \frac{2781h^3}{2^{15} \omega_1^6} \rho^6 + \frac{90493h^4}{2^{20} \omega_1^8} \rho^8 \right).$$



# Oscillateur de Duffing - Résonance primaire - $\Omega pprox \omega_1$

La dynamique réduite au troisième ordre est

$$\dot{z}_1 = f_1 z_1 + f_2 z_1^2 z_2 + f_3 z_3 + f_4 z_1^2 z_4 + f_5 z_1 z_2 z_3 + f_6 z_1 z_3 z_4 + f_7 z_2 z_3^2 + f_8 z_3^2 z_4,$$

La dynamique réduite au troisième ordre est

$$\dot{z}_1 = f_1 z_1 + f_2 z_1^2 z_2 + f_3 z_3 + f_4 z_1^2 z_4 + f_5 z_1 z_2 z_3 + f_6 z_1 z_3 z_4 + f_7 z_2 z_3^2 + f_8 z_3^2 z_4,$$

Développements symboliques

Avec  $\kappa$ ,  $\mathcal{E}_1$  d'ordre  $\mathcal{O}(\varepsilon)$ :

$$\rho\Omega = \rho\omega_1 + \rho^3 \frac{3h}{8\omega_1} \pm \frac{9h\rho^2 - 16\omega_1^2}{3h\rho^2 - 16\omega_1^2} \sqrt{\left(\frac{3h\rho^2 - 16\omega_1^2}{32\omega_1^3}\kappa\right)^2 - \rho^2\xi_1^2\omega_1^2}.$$



# Oscillateur de Duffing - Résonance primaire - $\Omega \approx \omega_1$

La dynamique réduite au troisième ordre est

$$\dot{z}_1 = f_1 z_1 + f_2 z_1^2 z_2 + f_3 z_3 + f_4 z_1^2 z_4 + f_5 z_1 z_2 z_3 + f_6 z_1 z_3 z_4 + f_7 z_2 z_3^2 + f_8 z_3^2 z_4,$$

Développements symboliques

Avec  $\kappa$ ,  $\mathcal{E}_1$  d'ordre  $\mathcal{O}(\varepsilon)$ :

$$\rho\Omega = \rho\omega_1 + \rho^3 \frac{3h}{8\omega_1} \pm \frac{9h\rho^2 - 16\omega_1^2}{3h\rho^2 - 16\omega_1^2} \sqrt{\left(\frac{3h\rho^2 - 16\omega_1^2}{32\omega_1^3}\kappa\right)^2 - \rho^2 \xi_1^2 \omega_1^2}.$$

Avec de plus h d'ordre  $\mathcal{O}(\varepsilon)$ :

$$\Omega = \omega_1 + \rho^2 \frac{3h}{8\omega_1} \pm \sqrt{\frac{\rho^2 \kappa^2}{4\omega_1^2} - \xi_1^2 \omega_1^2}.$$

[A. de F. Stabile, C. Touzé and A. Vizzaccaro: Normal form analysis of nonlinear oscillator equations with automated arbitrary order expansions, Journal of Theoretical, Computational and Applied Mechanics (JTCAM), 13234, 2025.

# Systèmes forcés - Suite

- ▶ Tous les critères présentés sont appliqués après le calcul du modèle réduit, pour le valider.
- ightharpoonup Détermination de  $\kappa$  a priori : expressions analytiques pour des cas de résonance spécifiques.



# Systèmes forcés - Suite

- ▶ Tous les critères présentés sont appliqués après le calcul du modèle réduit, pour le valider.
- Détermination de κ a priori : expressions analytiques pour des cas de résonance spécifiques.
- ► Pour la résonance primaire :

$$\dot{z}_1 = f_1 z_1 + f_2 z_1^2 z_2 + f_3 z_3,\tag{1}$$

avec 
$$f_3 = (c_3^R + ic_3^I)\kappa$$
.



# Systèmes forcés - Suite

- Tous les critères présentés sont appliqués après le calcul du modèle réduit, pour le valider.
- $\triangleright$  Détermination de  $\kappa$  a priori : expressions analytiques pour des cas de résonance spécifiques.
- Pour la résonance primaire :

$$\dot{z}_1 = f_1 z_1 + f_2 z_1^2 z_2 + f_3 z_3, \tag{1}$$

avec  $f_3=(c_3^R+ic_3^I)\kappa$ . Si  $f_3^R\neq 0$ , on a

$$\kappa = \frac{2f_1^R \rho + f_2^R \frac{\rho^3}{2}}{4c_3^R \sqrt{1 + \alpha^2}},\tag{2}$$

avec  $\alpha=f_3^I/f_3^R$ , alors que si  $f_3^I\neq 0$ , on trouve

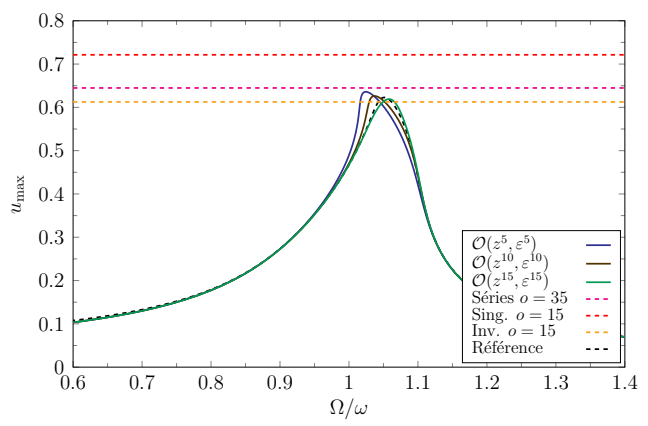
$$\kappa = \frac{2f_1^R \rho + f_2^R \frac{\rho^3}{2}}{4c_2^I \sqrt{1 + \beta^2}},\tag{3}$$

avec 
$$\beta = f_3^R/f_2^I$$
.



# Exemple - Système forcé

$$\xi_1 = \xi_2 = 0.05$$
,  $\omega_2 = 1.57$  et  $\kappa = 0.07$ .





Les trois critères ensemble permettent de déterminer une zone de perte de convergence.



- Les trois critères ensemble permettent de déterminer une zone de perte de convergence.
- Le critère d'invariance semble le plus robuste, et  $\varepsilon=1\%$  a mené à des bons résultats.



- Les trois critères ensemble permettent de déterminer une zone de perte de convergence.
- Le critère d'invariance semble le plus robuste, et  $\varepsilon=1\%$  a mené à des bons résultats.
- La simplification du critère d'invariance est facile à calculer et assez précise.



- Les trois critères ensemble permettent de déterminer une zone de perte de convergence.
- $\blacktriangleright$  Le critère d'invariance semble le plus robuste, et  $\varepsilon=1\%$  a mené à des bons résultats.
- La simplification du critère d'invariance est facile à calculer et assez précise.
- Les critères de singularité et des séries fournissent une borne supérieure pour les résultats.



- Les trois critères ensemble permettent de déterminer une zone de perte de convergence.
- $\blacktriangleright$  Le critère d'invariance semble le plus robuste, et  $\varepsilon=1\%$  a mené à des bons résultats.
- La simplification du critère d'invariance est facile à calculer et assez précise.
- Les critères de singularité et des séries fournissent une borne supérieure pour les résultats.
- La procédure pour déterminer l'amplitude du forçage fonctionne bien.



# MERCI DE VOTRE ATTENTION

andre.de-figueiredo-stabile@ensta-paris.fr







#### References I

- B. Cochelin. A path-following technique via an asymptotic-numerical method. *Computers & Structures*, 53(5):1181-1192, 1994. ISSN 0045-7949. doi: https://doi.org/10.1016/0045-7949(94)90165-1. URL https://www.sciencedirect.com/science/article/pii/0045794994901651.
- G. Haller and S. Ponsioen. Nonlinear normal modes and spectral submanifolds: existence, uniqueness and use in model reduction. *Nonlinear Dynamics*, 86(3):1493–1534, 2016.
- C. H. Lamarque, C. Touzé, and O. Thomas. An upper bound for validity limits of asymptotic analytical approaches based on normal form theory. *Nonlinear Dynamics*, 70(3):1931–1949, 2012.
- S. W. Shaw and C. Pierre. Non-linear normal modes and invariant manifolds. *Journal of Sound and Vibration*, 150(1):170–173, 1991.

